

РОССИЙСКАЯ АКАДЕМИЯ НАУК

СИБИРСКОЕ ОТДЕЛЕНИЕ

А В Т О М Е Т Р И Я

2004, том 40, № 1

УДК 681.142.621; 681.325.

В. Н. Вьюхин, Ю. А. Попов

(*Новосибирск*)

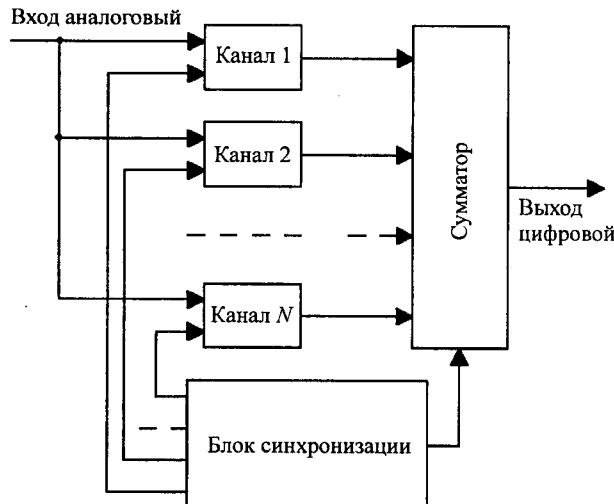
**АНАЛИЗ ПОГРЕШНОСТЕЙ
ЦИФРОВЫХ ИЗМЕРИТЕЛЬНЫХ СИСТЕМ
С ПАРАЛЛЕЛЬНЫМИ КАНАЛАМИ**

Разработана компьютерная модель цифровой измерительной системы с параллельными каналами, позволяющая определить суммарную ошибку восстановленного сигнала при наличии погрешностей в индивидуальных каналах. Анализируется влияние погрешностей статической характеристики каналов (смещения нуля и масштаба) и динамической погрешности, возникающей вследствие ошибок синхронизации каналов. Результаты анализа представляются во временной и частотной областях.

Применение параллельных каналов дает определенные преимущества измерительным системам. Например, распараллеливание процесса измерения в регистраторах широкополосных сигналов на N каналов позволяет в N раз повысить частоту дискретизации по отношению к тактовой частоте одного канала [1]. Эта задача актуальна еще и потому, что, как правило, полоса частот аналоговых и аналого-цифровых элементов тракта выше допустимой частоты дискретизации.

Блок-схема системы с параллельными каналами представлена на рис. 1. Каждый из N измерительных каналов содержит аналоговые элементы – устройства предобработки сигнала и АЦП. Блок синхронизации стробирует АЦП в каждом канале с фазовым сдвигом T/N , где T – период дискретизации одного канала. Потоки информации от всех каналов объединяются в сумматоре, в качестве которого может служить память (для регистратора) либо устройство цифровой обработки с параллельными каналами. Особенностью предлагаемого метода являются специфические погрешности выходного сигнала, обусловленные наличием индивидуальных погрешностей в каждом канале. Исследование этих погрешностей и есть предмет данной работы. Решение такой задачи дает возможность осуществлять коррекцию названных погрешностей по результатам измерения образцового сигнала.

Аналитическое определение суммарной погрешности в общем случае весьма затруднительно. В [2] приводятся расчетные соотношения для частного случая (число каналов 2, анализируется только динамическая погрешность). Поэтому для решения задачи в общем виде была разработана компьютерная модель измерительной системы с параллельными каналами. Вход-



Puc. 1

ными параметрами модели являются индивидуальные погрешности каналов: статические (ошибки смещения нуля и масштаба) и динамические, обусловленные погрешностями фазировок каналов. Результат работы моделирующей программы представляется в виде графиков спектра амплитуд и ошибки восстановленного сигнала, а также численных значений средней и среднеквадратичной ошибок по всей длине реализации. Число моделируемых каналов от 2 до 5, длина реализации $n = 128$ отсчетов. Входной сигнал задавался в виде

$$U_k = 2(1 - m_k) \sin(2\pi i p/n + 2\pi b_k p/n) + d_k, \quad (1)$$

где d_k , m_k , b_k – погрешности смещения нуля, масштаба и фазы для k -го канала соответственно; i от 0 до $n - 1$; p – число периодов входного сигнала на длину реализации, $p = 10$, если не указано иное. В связи с тем, что имеет место когерентная выборка, оконная техника при вычислении спектра не применялась. Коэффициент 2 в (1) нормализует входной сигнал к 0 дБ (двустороннее преобразование Фурье). Анализ проводится отдельно для каждой из трех названных погрешностей. В работе приняты следующие обозначения: F_1 – входная частота дискретизации, F_2 – выходная частота дискретизации, F_3 – частота входного сигнала.

1. Влияние ошибок смещения нуля. Ошибки смещения нуля в каналах искажают выходной сигнал и приводят к появлению в спектре составляющих с частотами jF_1 , $j=1$ для $N=2,3$ и $j=1,2$ для $N=4,5$. Таким образом, в спектре выходного сигнала появляется компонента с частотой дискретизации каналов и ее гармоники в пределах половины выходной частоты дискретизации. Уровень паразитных компонент в спектре зависит от величины и соотношения ошибок в каналах. В частном случае, когда смещение нуля определяется одним каналом (например, в двухканальной системе), сигнал ошибки представляет импульсную последовательность (со скважностью $1/N$ и амплитудой, равной смещению нуля), спектральный состав которой может быть легко определен аналитически. На рис. 2, *a*, *b* приведены графики соответственно ошибки выходного сигнала (разность между идеальным и реальным

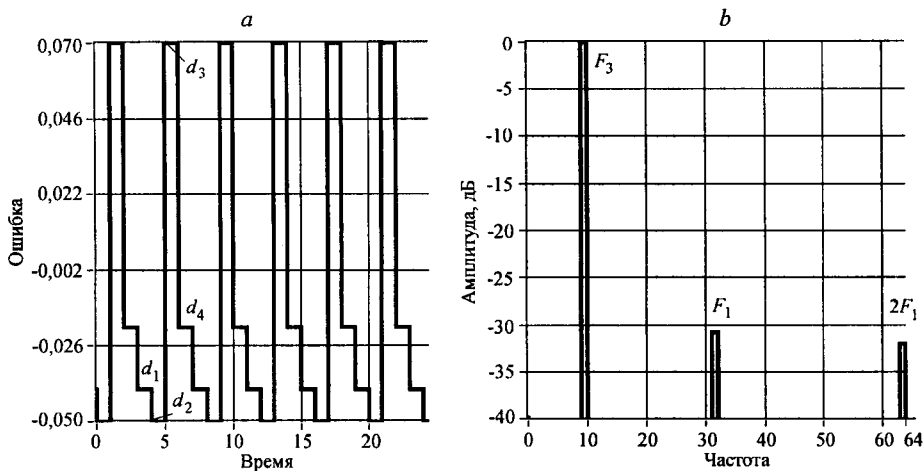


Рис. 2

ным сигналами) и спектра выходного сигнала при числе каналов $N = 4$ и ошибках в каналах: $d_1 = 0,04$, $d_2 = 0,05$, $d_3 = -0,07$, $d_4 = 0,02$. Из рис. 2 видно, что уровень паразитных компонент с частотами F_1 и $2F_1$ равен $-30,5$ и -32 дБ соответственно, средний квадрат ошибки $0,047$, постоянная составляющая $0,01$.

2. Влияние ошибок масштаба. Масштабные погрешности каналов вызывают амплитудную модуляцию выходного сигнала с частотой входного, что приводит к появлению в спектре составляющих с частотами $jF_1 \pm F_3$; значение j , как в разд. 1. Сигнал ошибки в общем случае представляет сложную импульсную последовательность, модулированную входной частотой. В частном случае одного канала с ошибкой погрешность представляет последовательность импульсов, модулированную входным сигналом с частотой F_1 , скважностью $1/N$ и амплитудой, равной ошибке масштаба. Уровень паразитных спектральных компонент с частотами $jF_1 \pm F_3$ определяется из соотношения для спектра амплитудно-модулированного колебания [3]:

$$|a_j| = \frac{m_k}{\pi j |\sin(\pi j/N)|}. \quad (2)$$

В действительности соотношение (2) дает заниженную оценку, так как не учитывает эффект наложения высших гармоник (выше половины частоты дискретизации) на составляющие в рабочей полосе.

На рис. 3, *a*, *b* приведены графики ошибки и спектра выходного сигнала при следующих условиях: $N = 4$, ошибки масштаба в каналах $m_1 = -0,05$, $m_2 = 0,05$, $m_3 = 0,03$, $m_4 = 0,04$. При заданных условиях уровень паразитных компонент с частотами $(F_1 \pm F_3)$ составляет $-33,5$ дБ, с частотами $(2F_1 \pm F_3)$ $-31,5$ дБ, средний квадрат ошибки $0,061$. Для наглядности на рис. 4 представлен график ошибки выходного сигнала при тех же условиях, но число периодов на реализацию равно 1; отображаются все 128 точек.

3. Влияние фазовых ошибок. Источником фазовых ошибок являются цепи формирования сигналов синхронизации измерительных каналов. При N каналах необходимо сформировать N синхросигналов со сдвигом по фазе

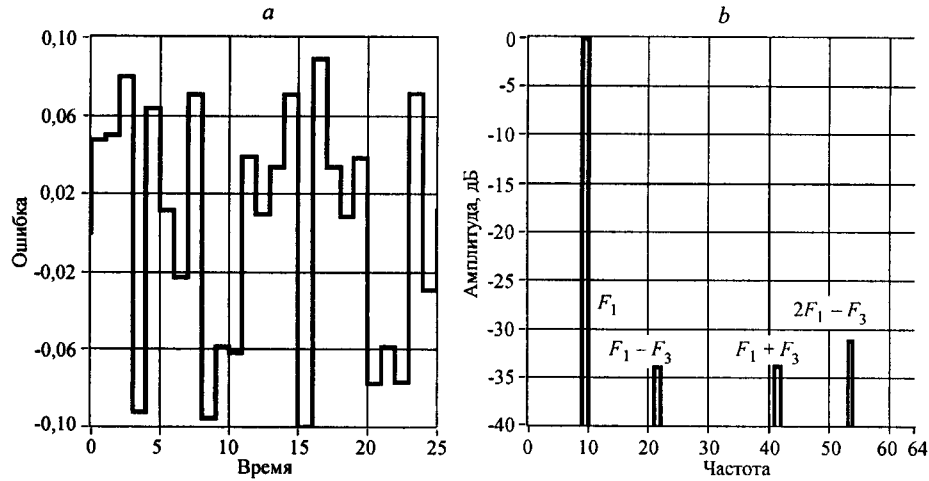


Рис. 3

на T/N . Конкретная реализация фазосдвигающих цепей может быть различной в зависимости от диапазона частот, но в любом случае погрешности формирования фазы будут существенно влиять на результирующую погрешность. В модели эта составляющая погрешности задается в виде отдельного коэффициента b_k (1) в диапазоне от нуля до единицы, что соответствует погрешности формирования фазы сигнала синхронизации от нуля до T/N . В отличие от предыдущих эта составляющая погрешности имеет динамический характер и эквивалентна апертурной ошибке δ_a измерения (ошибке дискретизации по времени), максимальное амплитудное значение которой определяется соотношением

$$\delta_a = V_m F t_a, \quad (3)$$

где V_m и F – амплитуда и частота входного сигнала соответственно; t_a – апертурное время, соответствующее указанной ранее ошибке фазы.

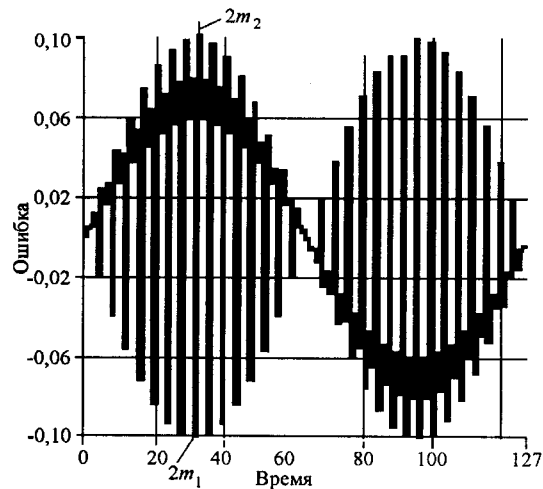


Рис. 4

Фазовые ошибки в каналах приводят к появлению в спектре выходного сигнала составляющих с частотами $jF_1 \pm F_3$. Ошибка представляет импульсную последовательность, модулированную по амплитуде входной частотой. Качественно сигнал ошибки будет таким же, как при масштабных ошибках в разд. 2. Отличие состоит в том, что фазовые ошибки приводят к динамическим погрешностям выходного сигнала, а масштабные имеют статический характер. Кроме того, погрешности составляющих при гармоническом входном сигнале сдвинуты по фазе на 90° . Последнее следует из того факта, что масштабная погрешность максимальна при максимуме сигнала, а динамическая погрешность максимальна в точке максимума производной сигнала. На модели определялись погрешности при следующих условиях: $N = 4$, нормализованная частота входного сигнала 0,195, фазовые ошибки в каналах 0,1, -0,1, 0,08. При этих условиях уровень спектральных компонент ошибки с частотами $(F_1 + F_3)$ и $(2F_1 \pm F_3)$ равен -32 и -23 dB соответственно, средний квадрат ошибки 0,07. В реальных условиях будут присутствовать все названные ошибки в каналах и результирующая погрешность на выходе измерительной системы будет определяться их векторной суммой.

Таким образом, в результате выполнения данной работы получены качественные и частные количественные характеристики погрешности измерения в системах с параллельными каналами в зависимости от ошибок в отдельных каналах. В спектре выходного сигнала появляются компоненты с исходной частотой дискретизации и ее комбинации с входным сигналом. Дальнейшие исследования на модели позволят выявить общие количественные соотношения между отдельными составляющими погрешности в каждом канале и их результирующим вкладом на выходе многоканальной системы, что даст возможность решать задачи программной коррекции ошибок.

СПИСОК ЛИТЕРАТУРЫ

1. Монсеев Д. В., Квашнин А. Н., Хильченко А. Д. Регистраторы однократных импульсных сигналов ADC824 // ПТЭ. 1999. № 3. С. 81.
2. Janik J-M., Bloyet D., Guoyot B. Measurement of timing jitter contribution in a dynamic test setup for setup A/D converters // IEEE Trans. Instrum. and Meas. 2001. **50**, N 3. P. 786.
3. Харкевич А. А. Спектры и анализ. М.: Изд-во физ.-мат. лит., 1962.

Институт автоматики и электрометрии СО РАН,
E-mail: VVN@iae.nsk.su

Поступила в редакцию
21 мая 2003 г.